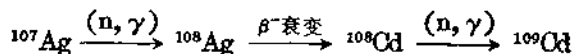


2). 新靶 $^{99}\text{Mo}-^{99m}\text{Te}$ 母牛原来以 MoO_3 作靶，现正式制以铀作靶，从裂变产物中制造这条母牛。 ^{125}I 原以天然氙气作靶，可以考虑利用已有条件自己浓集 ^{124}Xe 作靶，可提高 ^{125}I 比度，这样制成的 ^{125}I 的比度可能在世界上居首位。

3). 新方法 生产和测量方法应当随时改进。要研究新的分离方法，或把别的化学分离方法应用到放射性同位素的分离中去，如高压色谱，萃取色层等。也应研究新的物理测量、分析方法。

4). 新产品 人家已经生产而我们尚未生产的对我们来说是新产品。或已知的放射性同位素给以新用途而提供商用产品。再就是发现新的同位素，如高能加速器可以发现远离稳定线的缺中子的新的放射性同位素，它们中可能有半衰期及衰变类型、能量适合利用的。利用反应堆不大可能直接产生新的放射性同位素了，但可利用次级反应生产一些已知的有用同位素，如低能光子源 ^{109}Cd 可用下列过程生产：



标记的有机化合物的新产品将是很多的。

概括说来，

我们的目的是：扩大生产，适应四个现代化的要求。

我们的方针是：加强科研，提高质量，改进设备，安全生产。

我们的指标是：高纯度，高比度，高强度，高精确度。

我们的方向是：新思想，新靶，新方法，新产品。

二十年来我们已初步建成了放射性同位素的研究、试制、生产基地，培养了一支有实践经验的科技队伍。总结过去的经验，放眼未来，在党的领导下，放射性同位素事业无论从数量上和质量上都将继续提高，以满足四个现代化的发展和要求。

参 考 文 献

- [1] 人民日报，1958年8月。
- [2] *Nucleonics*, 17, 1, 21 (1959).
- [3] R. H. Lafferty, Jr., *Isotopes and Radiat. Technol.*, 4, 1, 6 (1966).
- [4] 肖伦，国外放射性同位素生产情况，(放射性同位素与射线应用展览会资料)，1972年，北京。
- [5] L. H. Hoddeson, *Phys. Today*, 30, 30 (1977).

预 订 通 知

《中文科技资料目录—电力、电工、原子能》分册是由科学技术文献出版社出版的查找中文电力、电工、原子能科技资料的全国性检索刊物。创刊于1978年3月，季刊，每季末月25日出版，每期报导目录1500~1600条。每期定价1.25元，全国各地邮局均可订阅。本刊代号：52-51。

《中文科技资料目录—电力、电工、原子能》编辑部1979.8.

科研成果报告

小型多丝正比室的性能研究

毛慧顺 王运永 李如柏 张鍾泰 周杰周 郁郑 民 叶铭汉

(中国科学院高能物理研究所)

本文对小型多丝正比室的性能进行了研究，着重测量了各种因素对输出幅度的影响。对于计数率坪曲线、效率坪曲线、空间分辨本领、时间分辨本领、多丝触发等性能进行了测量。

引言

多丝正比室^[1]是高能物理实验中不可缺少的重要探测器，并广泛应用于中能、低能核物理、天文物理、医学和生物学等领域。为了对多丝正比室的构造和性能进行研究，我们制作了 $10 \times 10\text{cm}^2$ 的小型多丝正比室，为建造大型多丝室打下基础。

一、多丝正比室的构造

小型多丝正比室的结构见图 1，其工作面积为 $10 \times 10\text{cm}^2$ 。每个室由一个阳极平面和两个

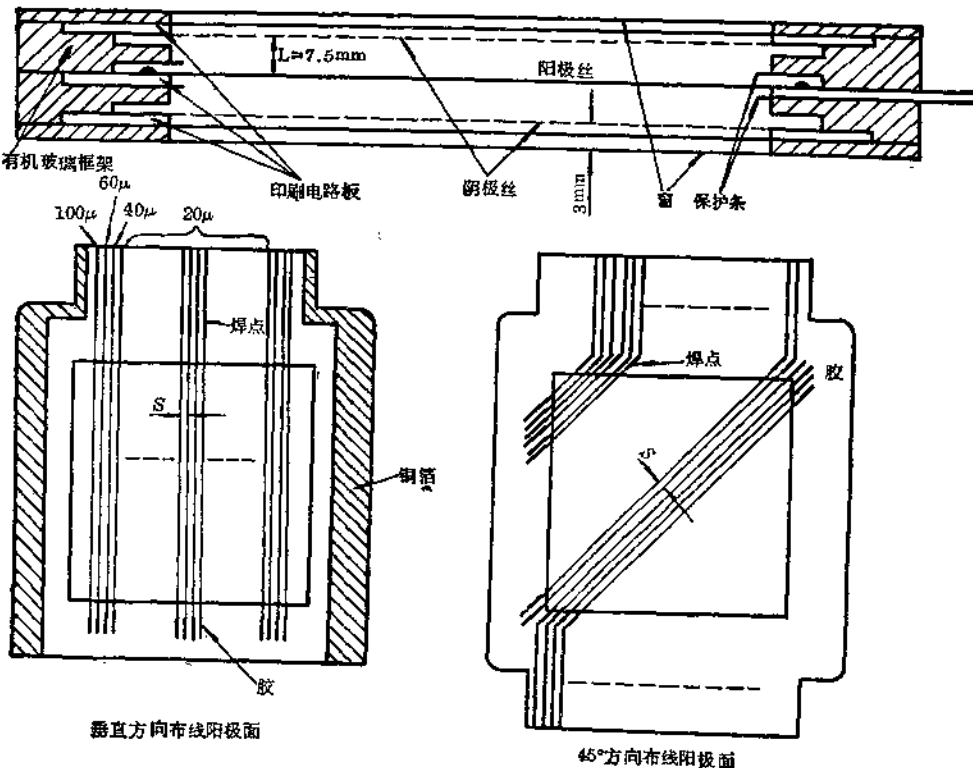


图 1. 小型多丝正比室的结构简图

阴极平面组成，阳极平面置于两个阴极平面之间，阳极平面处地电位，阴极平面上加负高压。输出脉冲由阳极平面上引出。阳极丝的取向分别为与阴极丝互相垂直和成 45° 方向的两种。

阳极丝用 20μ 直径的镀金钨丝，丝距 S 为 2mm ，张力 20g 。为使框架附近电场均匀，每个阳极丝平面的边缘各加三根粗丝。阳极丝一端用低温焊锡焊于印刷电路板上，另一端用502胶胶于腐蚀掉铜皮的印刷电路板上。阳极平面两端的上、下方各放有保护条。

阴极丝是 100μ 直径的铍青铜丝，丝距 1mm ，张力 100g ，丝焊于镀银的印刷电路板上。

室的充气采用流气式方法。为防止严重漏气而造成气体成分的不纯和气体的浪费，室框架四周都用硅橡胶或真空封腊（松香和蜂蜡各50%）的涂层加以密封。

二、对影响输出脉冲幅度的因素的研究

影响多丝正比室输出脉冲幅度的因素很多，我们主要测量了室工艺、外加高压、气体流量、气体成分、并联不同阳极丝数等。用 ^{55}Fe 放射源，阳极丝上的信号经由电荷灵敏放大器或低噪声电压放大器输出，用256道脉冲高度分析器加以测量。下面如不加说明，所用的室的阳极丝直径为 20μ ，其方向与阴极丝垂直，充的气体为 $80\%\text{Ar} + 20\%\text{CO}_2$ 。

1. 室工艺对输出幅度的影响^[2,3] 室的结构和工艺影响室内电场的分布，也就直接影响气体增殖倍数，从而使脉冲幅度的大小及其均匀性有所不同。我们着重测量了阳极丝直径的大小及其均匀性、特别是丝距 S 的均匀性与输出脉冲幅度的关系。

(1) 阳极丝直径大小的影响
丝径 20μ 室的输出幅度大均是丝径 40μ 室的10倍，并随着室上所加高压的增加略有上升(图2)。

(2) 阳极丝直径均匀性和边缘场的影响^[4] 固定高压(3900V)， ^{55}Fe 源由 1mm 直径的小孔加以准直，对准某一阳极丝，沿着丝方向改变源的位置，测量不同位置时的输出幅度。对于垂直布丝的室，在丝的 $20\sim 80\text{mm}$ 区间内，无论是室的中心部分还是边缘部分，在同一丝的不同位置上产生了雪崩(着火)时，其幅度变化都不超过6%。

我们用显微镜直接对阳极丝直径的变化进行了抽样测量。在大范围内，也就是对各轴、各段丝进行随机抽测，其直径有 $\pm 10\%$ 的变化。但是，对短段丝，例如十几厘米区间内，丝径变化几乎观察不出。说明同一丝上输出幅度的变化主要不是由丝直径的不均匀性造成的，而是由室框架边缘，特别是离框架 15mm 区域内电场的不均匀性引起的。

(3) 阳极丝距 S 均匀性的影响 我们测量了三个多丝正比室的中间32根阳极丝(共96根丝)的输出幅度，测量时 ^{55}Fe 源都放在被测丝的中央以防止边缘场的影响，并用JGX-2型大型工具显微镜测量了这三个室的丝距，发现作如下处理后，不同丝的输出幅度与丝距的不均匀性有直接关系。

设 A_i 是32根被测丝中第 i 根丝的输出幅度，

S_i 是32根被测丝的第 i 个丝距，

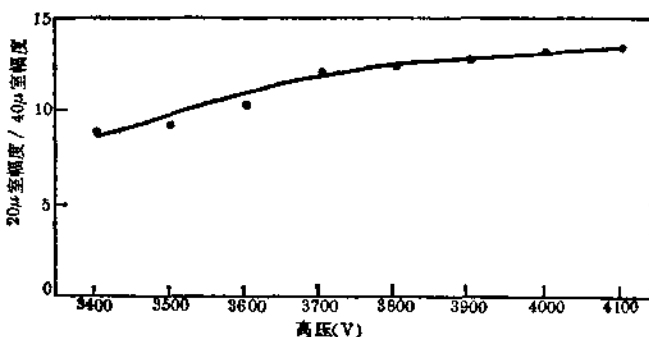


图2. 不同高压下 20μ 与 40μ 阳极丝室幅度之比
图2展示了不同高压下 20μ 与 40μ 阳极丝室幅度之比。Y轴表示幅度比 $20\mu\text{m} / 40\mu\text{m}$ ，范围从0到15。X轴表示高压(V)，范围从3400到4100。数据点显示幅度比随高压增加而逐渐上升，从约8.0在3400V时上升至约13.5在4100V时。

$$\bar{A} = \frac{\sum_{i=1}^{32} A_i}{32} \text{ 即 32 根丝输出幅度的算术平均值,}$$

$$\bar{S} = \frac{\sum_{i=1}^{32} S_i}{32}, \text{ 当被测 32 根丝的首尾两根离精确位置偏离不大的话, 应等于设计值 } 2\text{mm}.$$

$$\text{令 } \Delta A_i = A_i - \bar{A}$$

由于丝距存在 $S_{i \rightarrow i+1}$ 和 $S_{i \rightarrow i-1}$ 即与左、右两根丝的间距, 也就存在两个丝距偏差:

$$\Delta S_{i \rightarrow i+1} = S_{i \rightarrow i+1} - \bar{S} = S_{i \rightarrow i+1} - 2\text{mm}$$

$$\Delta S_{i \rightarrow i-1} = S_{i \rightarrow i-1} - \bar{S} = S_{i \rightarrow i-1} - 2\text{mm}$$

若只考虑相邻两丝丝距, 取

$$\Delta S_{i \pm 1} = \Delta S_{i \rightarrow i+1} + \Delta S_{i \rightarrow i-1}$$

我们分别作了三个室的 $\frac{\Delta A_i}{A}$ 与 $\frac{\Delta S_{i \pm 1}}{\bar{S}} = \frac{\Delta S_{i \pm 1}}{2\text{mm}}$ 的关系曲线。发现两者存在内在关系, 但符合

不太好。考虑到对某一根丝而言, 不仅仅是紧邻左右两丝的位置影响该丝周围的电场分布, 而且较远丝的位置虽然影响小些, 但仍然会对该丝周围的电场有所影响。当然相距越远的丝影响越小, 但至少除相邻的两根外, 较远的两根还是应该有所顾及。为此我们取

$$\Delta S_i = \Delta S_{i \pm 2} = \Delta S_{i \rightarrow i+1} + \Delta S_{i \rightarrow i-1} + C \cdot (\Delta S_{i+1 \rightarrow i+2} + \Delta S_{i-1 \rightarrow i-2}),$$

式中 C 为常数。

我们尝试了几种 C 值, 发现若取 $C=25\%$ 或 20% 时, $\Delta A_i / \bar{A}$ 与 $\Delta S_i / 2\text{mm} = \Delta S_i / 2\text{mm}$ 之间的联系反映得很清楚。图 3 是一个室的 $\Delta A_i / \bar{A}$ 与 $\Delta S_i / 2\text{mm}$ 的关系曲线, 其余两个室的结果相类似。

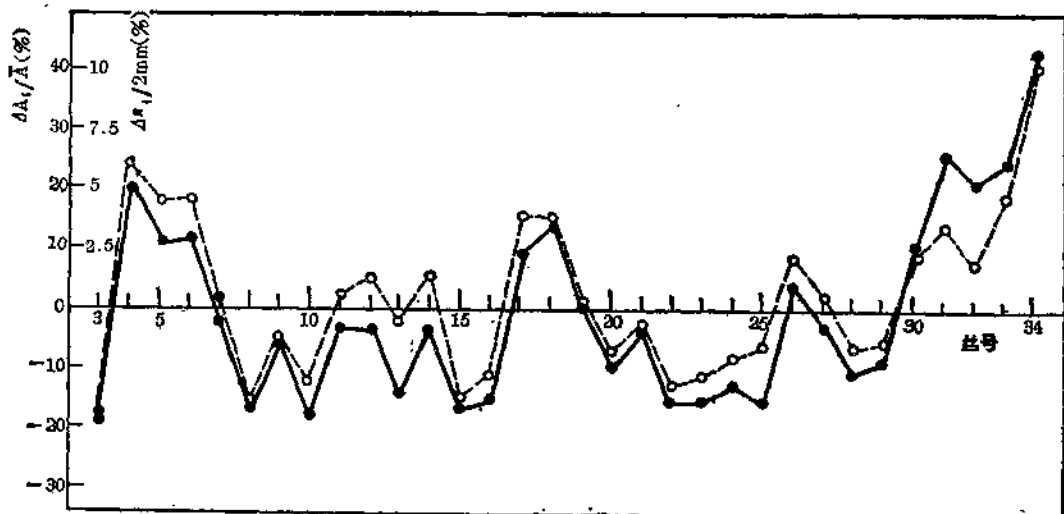


图 3. 不同阳极丝上的脉冲幅度与丝距的关系

1号室, 3900V —●— $\frac{\Delta A_i}{\bar{A}}$ ---○--- $\frac{\Delta S_i}{2\text{mm}}$

测量表明, 对所研究的 96 根丝而言, 绝大多数的丝都满足 $\frac{\Delta A_i}{\bar{A}} = k \frac{\Delta S_i \pm 2}{S(=2\text{mm})}$ 的关系,

其中 $k=4$ 。

在我们的工艺条件下，不同丝输出幅度的差别，主要是由丝距的不均匀造成的。通过测量输出幅度可以大致了解到布丝均匀情况。当对输出幅度有一定要求时，也就要对丝距公差提出相应要求。

2. 外加高压、气体成分对输出幅度的影响 多丝室输出脉冲幅度的研究，实际就是对气体增殖倍数 M 的研究，我们测量了 95%Ar+5%CH₄，90%Ar+10%CH₄，90%Ar+10%CO₂，80%Ar+20%CO₂ 四种气体成分的 M —高压关系，并作出曲线，见图 4。

圆柱形正比计数管中 $\ln M - V$ 的线性关系在多丝室中仍是基本成立的。CH₄、CO₂ 都是猝灭性气体，它们的加入使 M 随 V 的变化趋向缓慢，输出幅度也就减小，但 M 因此而稳定；当猝灭性气体太少时，由于增殖太大，室易产生电晕放电，高压也就加不上去。对 80%Ar+20%CO₂，高压 4100V 时，没出现电晕放电。但 95%Ar+5%CH₄ 在 3600V 高压时室就放电了。

3. 气体流量对输出幅度的影响 测量表明当气体流量从 15.4ml/min 变化到 182ml/min 时，幅度变化 $< \pm 1.6\%$ ，可以不予考虑。

4. 并联不同阳极丝数时对输出幅度的影响

有时为了测能谱（即电离损失谱）和效率往往把几根阳极丝并联起来，并联是由正中一根阳极丝开始，分别向左右两边增加并联的丝。再通过一个放大器输出，此时的输出幅度要比单丝输出幅度小。

因输出幅度 $V \propto \frac{q}{c}$ ，输出总电容随并联丝数的增加而增加，再加上邻近丝感应脉冲的迭加。图 5 表示幅度与并联丝数的关系。结果比文献（5）的输出幅度要小一些，这可能与室的具体结构有关。

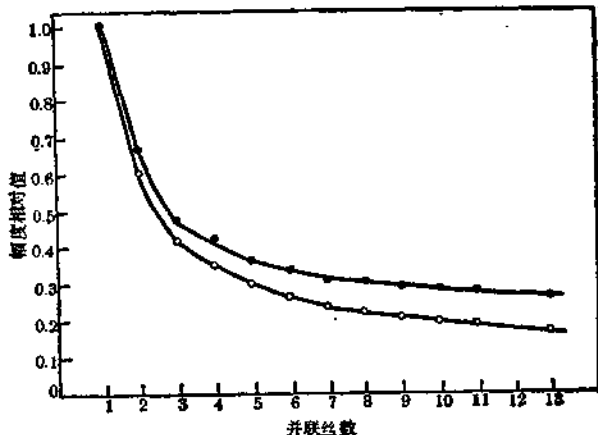


图 5. 并联不同阳极丝数时的输出脉冲幅度
3900V ^{35}Fe 0.22mm 缝准直，对准并联丝中心
——●—— 用 FH-423 型电荷灵敏放大器测
——○—— 用 FH-430 电压放大器测

1979 年第 3 期

三、计数率坪曲线

多丝正比室用作放射强度测量时，要用到室的计数率坪曲线，即计数率—高压曲线，从而选出合适的工作

电压。用我们的室，配 FH-423 型电荷灵敏放大器（放大倍数 $K=100$ ，甄别阈为 200mV ），测量单根丝时得出坪长为 900V ，坪斜为 $1.5\% / 100\text{V}$ 。

四、效率坪曲线

多丝正比室的效率是指待测粒子通过室时能被探测到的几率。我们用快慢符合的方法进行了测量，测量所用的源是 ^{90}Sr (β 射线的 $E_{\max}=2.26\text{MeV}$)，其测量装置见图 6a。

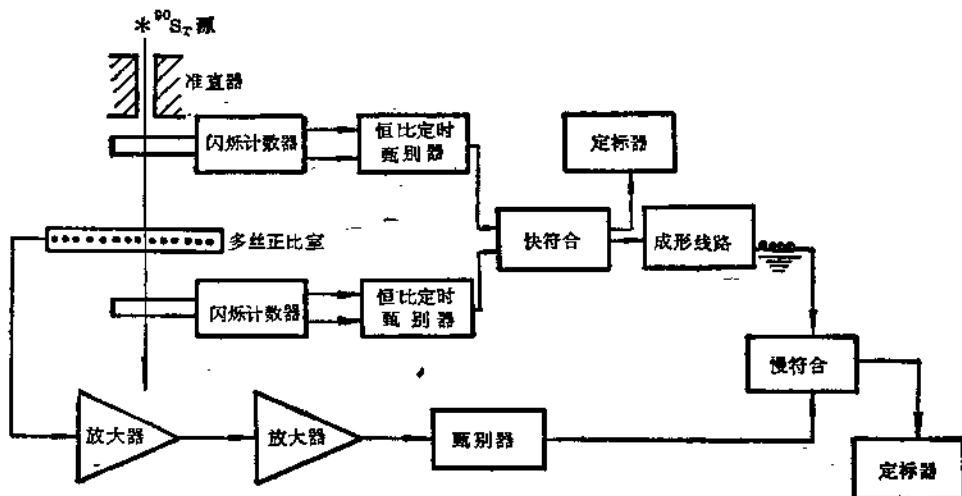


图 6a 效率坪曲线的测量装置

闪烁计数器的符合计数 N_1 是：

$$N_1 = N_{\text{入射}} \cdot \varepsilon_{\text{闪烁1}} \cdot \varepsilon_{\text{闪烁2}} \cdot \varepsilon_{\text{快符合}}$$

其中 $\varepsilon_{\text{闪烁1}}$ 为闪烁计数器 1 的效率，

$\varepsilon_{\text{闪烁2}}$ 为闪烁计数器 2 的效率，

$\varepsilon_{\text{快符合}}$ 为符合线路的效率。

慢符合的计数 N_2 是：

$$N_2 = N_{\text{入射}} \cdot \varepsilon_{\text{闪烁1}} \cdot \varepsilon_{\text{闪烁2}} \cdot \varepsilon_{\text{快符合}} \cdot$$

$\varepsilon_{\text{多丝室}} \cdot \varepsilon_{\text{慢符合}}$

慢符合的分辨时间应足够长，以保证 100% 符合，这样得出多丝正比室的效率 $\varepsilon_{\text{多丝室}}$ 为：

$$\varepsilon_{\text{多丝室}} = N_2 / N_1$$

我们利用上述效率坪曲线的测量装置，比较了 $80\%\text{Ar} + 20\%\text{CO}_2$ 、 $90\%\text{Ar} + 10\%\text{CO}_2$ 、 $90\%\text{Ar} + 10\%\text{CH}_4$ 三种气体成分的效率坪曲线，见图 6b。

图 6b 表明在效率大于 97% 时， $80\%\text{Ar} + 20\%\text{CO}_2$ 的坪长大于 400V （没有再往上

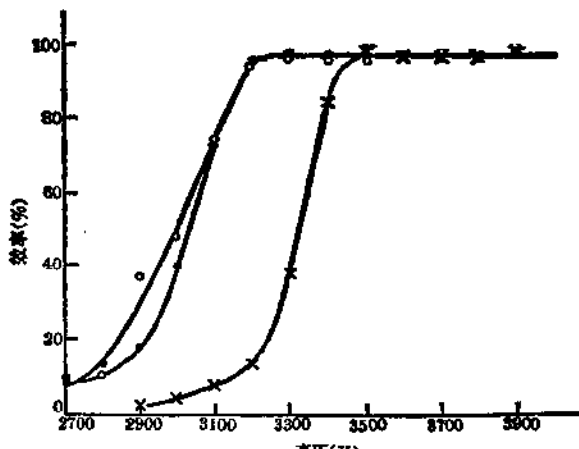


图 6b 三种不同气体成分的效率坪曲线（电荷灵敏放大器 $10 \times 100 \times 0.3$ 550mV 阈）

● —— $90\%\text{Ar} + 10\%\text{CH}_4$ ○ —— $90\%\text{Ar} + 10\%\text{CO}_2$
× —— $80\%\text{Ar} + 20\%\text{CO}_2$

测), $90\% \text{Ar} + 10\% \text{CH}_4$ 的坪长大于 600V , $90\% \text{Ar} + 10\% \text{CO}_2$ 坪长为略大于 400V , 电压再高, 室就放电了。

在测量过程中, 由于 β 射线的散射, 准直器不太可能把它准直到一根丝上, 因此必须并联几根丝测量, 我们并联 8 根丝。

五、空间分辨本领

这是标志多丝室空间定位精度的一个量。测量装置如图 7a, 其中测量台用显微镜底座改装, 多丝室可在台上移动, 移动精度 10μ 。测量过程中采用了缝长 1cm 、厚 3cm 、宽分别为

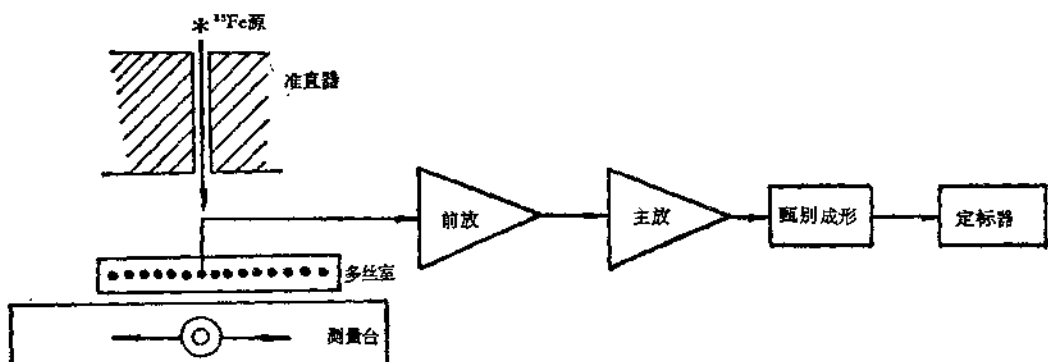


图 7a 空间分辨本领测量装置图

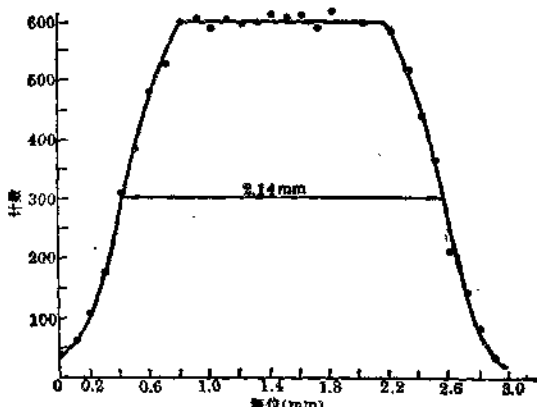


图 7b 空间分辨本领测量曲线
(准直器缝宽 0.37mm)

0.37mm 和 0.15mm 的两种铝准直器, 测量结果见图 7b。

空间分辨本领即是该测量曲线峰值的半宽度 (FWHM)。对 0.37mm 缝宽准直器, $\text{FWHM} = 2.14\text{mm}$; 对 0.15mm 缝宽准直器, $\text{FWHM} = 2.09\text{mm}$ 。按理说, 对 $S=2\text{mm}$ 的某一根丝来说, 它只能测出离它 1mm 内的粒子, 超过 1mm 的粒子应由邻近的丝测量; 实验结果却超过 1mm , 原因在于准直缝本身有一定宽度。实验表明, 当缝宽减小时, 空间分辨本领有所改善。

六、时间分辨本领

这是标志多丝正比室能够区分两个事例的最短时间间隔。时间分辨本领测量是指从一个粒子入射到一根丝附近的不同区域, 到粒子所产生的电离电子漂移到雪崩区雪崩, 并形成输出脉冲的这一段延迟时间的最大变动, 通常用半宽度 (FWHM) 表示。一般的测量装置见图 8。

用此装置测得实验结果为: 对于 $90\% \text{Ar} + 10\% \text{CO}_2$, 在高压 3400V 时, $\text{FWHM} = 22.5\text{ns}$, 在高压 3650V 时, $\text{FWHM} = 19.1\text{ns}$ 。对于 $90\% \text{Ar} + 10\% \text{CH}_4$, 在高压 3650V 时, $\text{FWHM} =$

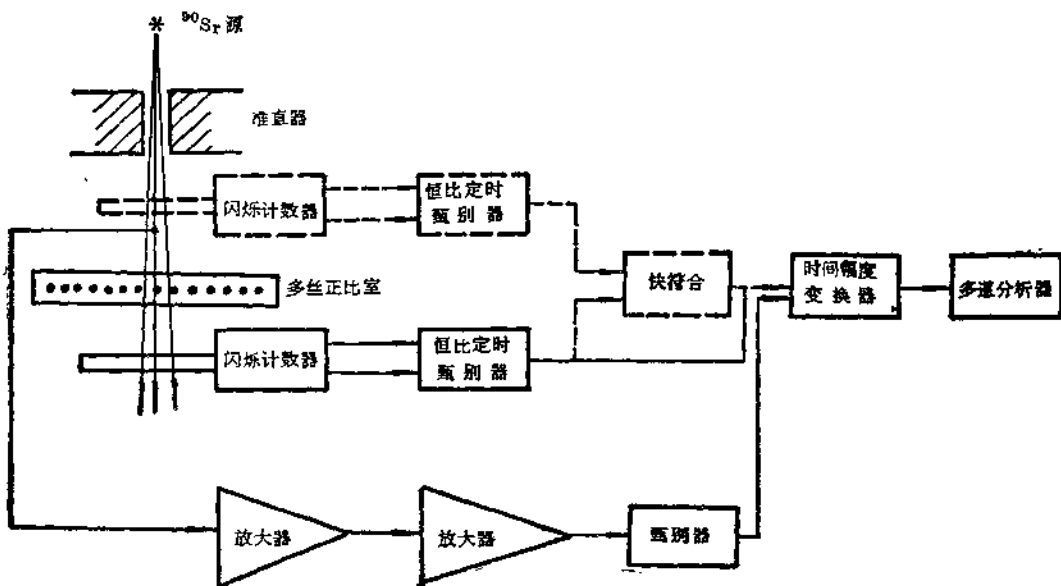


图 8 时间分辨本领测量装置的框图

23.8ns。由此看出高压升高，电子漂移速度增加，时间分辨本领变好。不同气体、同样电场，电子漂移速度可以不同，因此时间分辨本领也不同。实验中入射速流应有一定的散度，使之能反映出各种可能的延迟时间，而且应复盖住所测丝的灵敏区，因此束流可适当准直，但准直缝必须有一定的宽度。我们所用的准直器的缝宽为1mm、厚1.6cm、距窗40mm。

七、能量分辨本领及⁵⁵Fe-X射线和⁹⁰Sr-β射线的幅度谱

多丝室的输出脉冲经由放大器输入多道脉冲幅度分析器，测出⁵⁵Fe和⁹⁰Sr的幅度谱，即电离损失谱，该谱的FWHM就定义为能量分辨本领。我们测量过20μ室、40μ室能量分布给出了一条能量分辨随高压变化的典型曲线（图9）。在高压太高太低时，能量分辨本领都有变坏趋势，因为它们处于正比区边缘，幅度不稳定，高压过高还附加空间电荷影响。图10中⁹⁰Sr的谱是并联三根丝测出的，这是由于低能β射线散射太厉害必须这样作的。

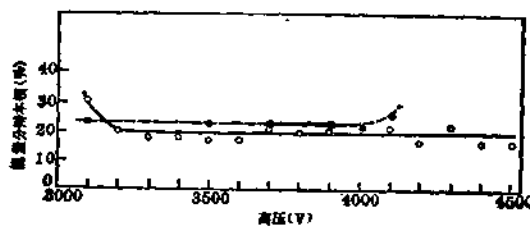
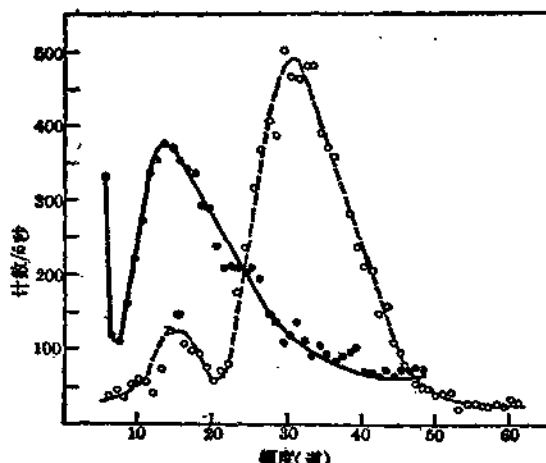


图9. 能量分辨本领——高压曲线

⁵⁵Fe 单丝测量
—○— 20μ丝室 ---●--- 40μ丝室

图10. 并联3根阳极丝时典型的⁵⁵Fe和⁹⁰Sr幅度谱

3900V —●— ⁹⁰Sr谱 —○— ⁵⁵Fe谱

八、多丝触发^[6]的初步观察

由于实验条件所限，我们仅用⁹⁰Sr的β源粗略地观察了一下多丝触发问题。β射线经由两片铜(厚2mm)中间夹铅(厚16mm)组成的准直器(准直孔直径1mm)后，仍有大量散射和轫致辐射，而室内又无大量负电性气体，因此几根丝同时被一个粒子触发的多丝触发现象是严重的。实验表明，相邻两条丝同时触发约是单丝计数的10%，相邻三条丝同时触发约是单丝计数的~0.8%。

结 束 语

我们研究了小型多丝室的建造及其主要的性能，并已用这种小型多丝室进行了联计算机的在线读出实验，室工作是正常的。

谢佩佩、王廷友、薛生田、吴书华、屈云河、姚晓光等同志提供了测量线路，原子能研究所李忠珍、彭华寿、罗开远、解向前等同志、中国科技大学杨衍明等同志曾给我们工作不少帮助，特在此一并表示感谢。

参 考 文 献

- [1] G. Charpak et al., *Nucl. Instr. Meth.*, 62, 262 (1968).
- [2] S. Parker et al., *Nucl. Instr. Meth.*, 97, 181 (1971).
- [3] G. Charpak, *Ann. Rev. Nucl. Sci.*, 20, 195 (1970).
- [4] I. Lehraus and R. Matthowson, *Nucl. Instr. Meth.*, 97, 187 (1971).
- [5] L. Cohen et al., *Nucl. Instr. Meth.*, 103, 125 (1972).
- [6] B. Bouclier et al., *Nucl. Instr. Meth.*, 88, 149 (1970).

(1979年1月5日收到)

* ~~~~~ *

(上接第14页)

- [7] 夏宗勤和王世真, 生物化学与生物物理学报, 5, 646 (1965).
- [8] 放射性同位素与射线应用展览会资料, 1972年.
- [9] 王世真, 同位素技术及其在生物医学中的应用, 科学出版社, 1977年, 第423页.
- [10] 许津等, 微生物学报, 18, 66 (1978).
- [11] 王世真等, 实验生物学报, 9, 185 (1964).
- [12] 汪猷等, 化学学报, 32, 284 (1966).
- [13] 全国克矽平治疗矽肺研究组, 矽肺平治疗矽肺研究资料汇编, 1970年, 第143页.
- [14] 同位素在基础医学的应用(1977年哈尔滨全国放射性同位素应用技术交流会选编), 原子能出版社, 1979年.
- [15] 全国第一次活化分析会议资料选编, 原子能出版社(付印中).
- [16] 徐秉锯等, 寄生虫学报, 3, 118 (1966).
- [17] 徐秉锯等, 寄生虫学报, 2, 404 (1965).
- [18] 全国放射性同位素应用技术交流会资料, 1977年.
- [19] 中国科学院生物物理研究所, YS-1型自动液体闪烁谱仪成果鉴定会资料汇编, 1976年.
- [20] 朱汝等, 核技术, 1, 37 (1978).
- [21] 中国医学科学院分院七室同位素应用组, 放射医学(1) 58, 71 (1976).
- [22] 朱秀媛等, 中华医学杂志, 55, 559 (1975).
- [23] 薛全福, 同位素技术及其在生物医学中的应用, 科学出版社, 1977年, 第476页.
- [24] 男用节育药全国协作组, 中华医学杂志, 58, 455 (1978).
- [25] 上海第一医学院, 医学科研资料(3), 核医学专编, 1977年.
- [26] 中国医学科学院同位素委员会, 科学通报, 21, 659 (1958).

(1979年5月5日收到)